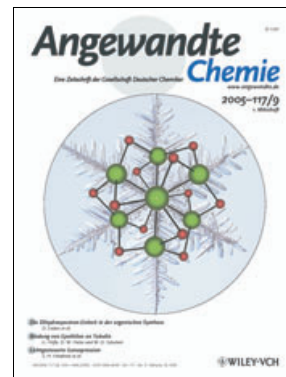


Titelbild

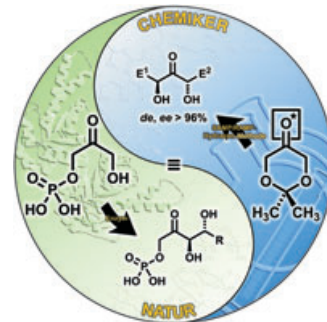
Emma J. Brown, Anne-K. Duhme-Klair,* Matthew I. Elliott,
Jane E. Thomas-Oates, Phillipa L. Timmins und Paul H. Walton*

Peroxid eingefroren in perfekter Symmetrie, die beim Blick entlang der Hauptachse an eine Schneeflocke denken lässt, findet man in einem näherungsweise S_6 -symmetrischen achtkernigen Nickelkomplex (der Ni-O-Kern ist im Vordergrund zu sehen; Ni grün, O rot). Der Einschluss als μ_6 -koordinierter Peroxoligand im Nickelkäfig stabilisiert diese reaktive Spezies. Weitere Informationen finden Sie in der Zuschrift von A.-K. Duhme-Klair, P. H. Walton et al. auf S. 1416 ff. (Für das Hintergrundbild danken die Autoren Prof. K. G. Libbrecht, Caltech.)



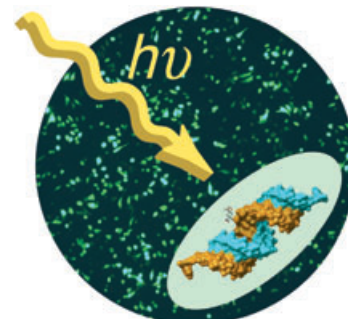
Synthesemethoden

D. Enders et al. legen im Aufsatz auf S. 1330 ff. dar, welche Einsatzmöglichkeiten der biologisch wichtigen Dihydroxyaceton-Einheit in der organischen Synthese durch die Entwicklung entsprechender Äquivalente offen stehen.



RNA-Interferenz

S. H. Friedman et al. zeigen in ihrer Zuschrift auf S. 1352 ff., wie die RNA-Interferenz mithilfe von Licht gesteuert werden kann. siRNAs mit photolabilen Gruppen werden durch Bestrahlung entschützt und so zu aktiven siRNAs.



Fullerene

Über die spektroskopische Charakterisierung des ersten funktionalisierten C_{70} -Kations, $[CHCl_2-C_{70}]^+$, berichten T. Kitagawa, K. Komatsu und Mitarbeiter in ihrer Zuschrift auf S. 1422 ff., die auch quantitative Aussagen zur thermodynamischen Stabilität des Ions einschließt.

